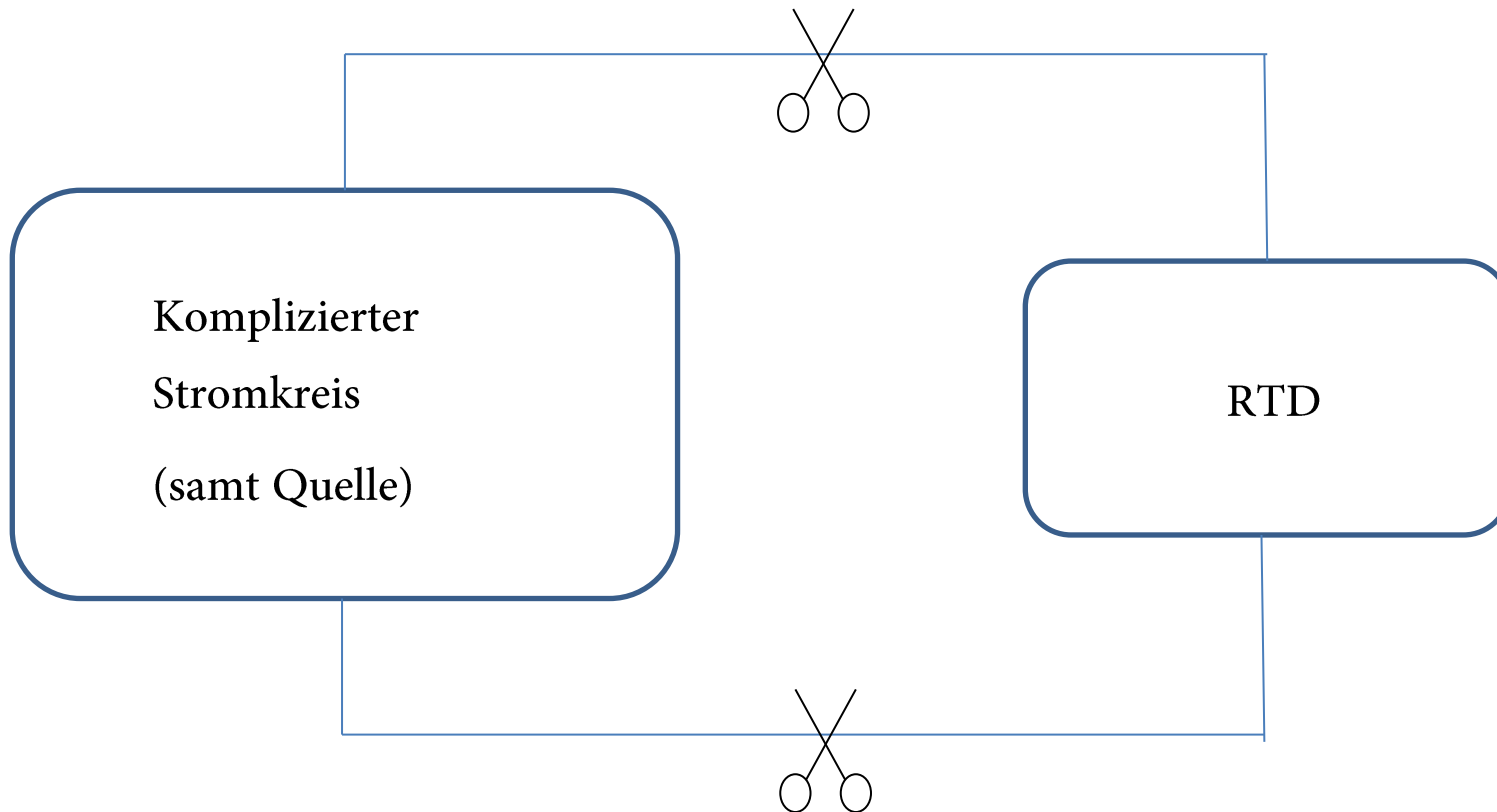


Diskontinuierlich-Galerkin Verfahren für die Liouville-von-Neumann-Gleichung

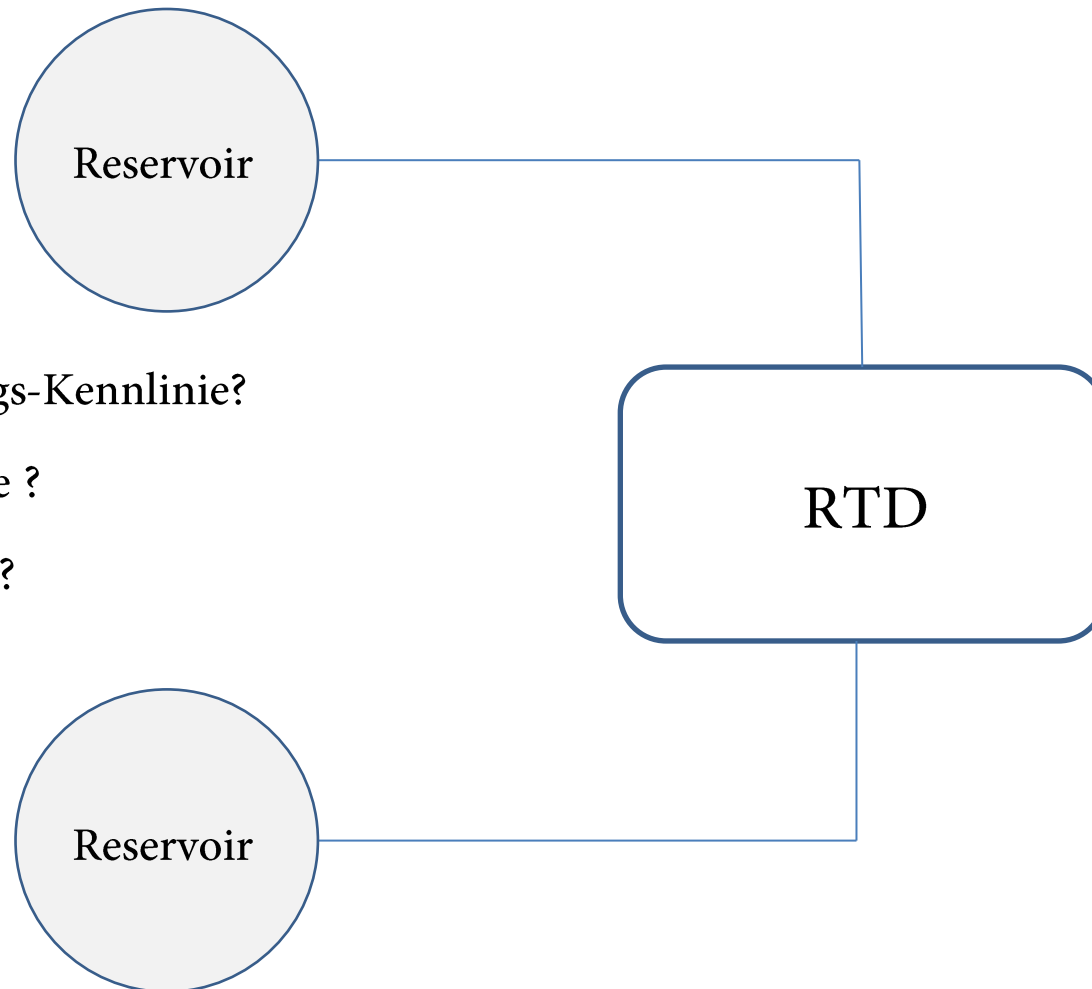
Inhalt

1. Problemstellung
2. FEM-Verfahren
3. DG-Verfahren
 - a. Der numerische Fluss
 - b. In Bilinearform-Schreibweise
4. Schema für die LvN-Gleichung
5. Ausblick

Übergang geschlossene \rightarrow offene Systeme



Übergang geschlossene \rightarrow offene Systeme



- Strom-Spannungs-Kennlinie?
- Elektronendichte ?
- Potentialverlauf ?

Beschreibe Transport von Elektronen
in Quantenstruktur

↘
Bewegungsgleichung
↙

Liouville-von-Neumann-Gleichung (LvN)

$$\partial_t \rho(x, y, t) = \frac{1}{i\hbar} \mathcal{L}(x, y, t) \rho(x, y, t)$$

$$\mathcal{L}(x, y, t) = -\frac{\hbar^2}{2m} \left(\partial_x^2 - \partial_y^2 \right) + V(x, t) - V^*(y, t)$$

Schwerpunkt- und Relativkoordinaten

$$r \equiv \frac{x + y}{2}$$

$$q \equiv x - y$$

Einheitenskalierung

$$\xi = \sqrt{\frac{\hbar^2}{mV_0}}$$

$$\tau = \frac{\hbar}{V_0}$$

$$V_0 = 0,1768 \text{ eV}$$

$$\xi = 2,62 \cdot 10^{-9} \text{ m}$$

$$\tau = 3,72 \cdot 10^{-15} \text{ s}$$



$$i\partial_t \rho(r, q, t) + \underbrace{\text{div}(A \nabla \rho(r, q, t))}_{\text{Diffusion}} - \underbrace{B(r, q, t) \rho(r, q, t)}_{\text{Drift}} = 0$$

Elektronendichte und Strom

$$j(r, t) = \frac{\hbar}{m} \operatorname{Im}\{\partial_q \rho(r, q, t) |_{q=0}\}$$

$$n(r, t) = \operatorname{Re}\{\rho(r, q, t) |_{q=0}\}$$

Randbedingungen

$$\partial_t \rho(x, y, t) = \frac{1}{i\hbar} \mathcal{L}(x, y, t) \rho(x, y, t)$$

Geschlossenes, konservatives System

\Leftrightarrow

Nettostrom durch Oberfläche = 0

\Leftrightarrow

\mathcal{L} hermitsch \longrightarrow alle Eigenwerte reell

Offenes System

\Uparrow

Nettostrom durch Oberfläche $\neq 0$

\Downarrow

\mathcal{L} nicht-hermitsch

$\longrightarrow \exists$ mind. ein komplexer Eigenwert

positiver Imaginärteil

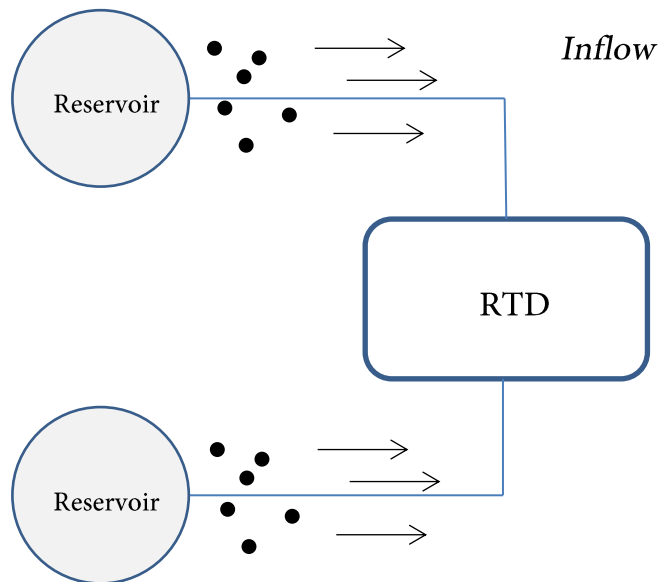
$\Rightarrow \exists$ instabile, unphysikalische Lösung

\longrightarrow brauchen Zeit-irreversible RB! [1]

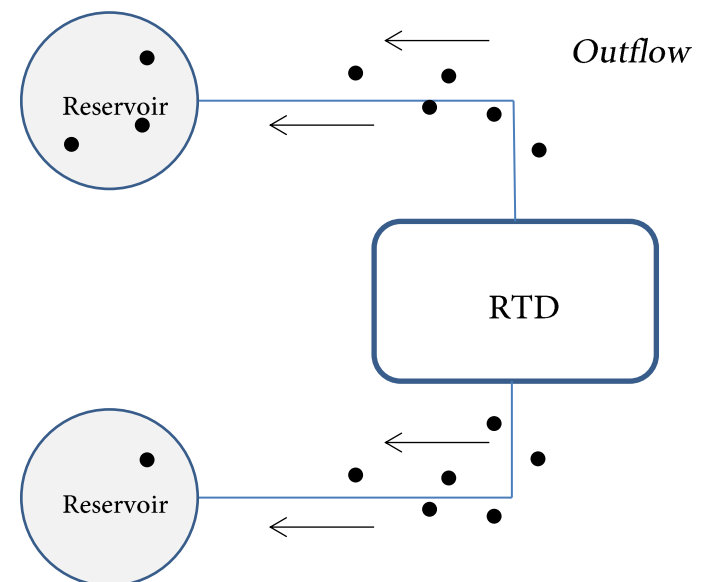
Randbedingungen

Reservoir als schwarze Strahler

Emission mit thermischer
Gleichgewichts-Verteilung



Vollständige Absorption



Randbedingungen

Unterscheidung nach Geschwindigkeit des Teilchens erforderlich !



LvN im Ortsraum

~~$$\rho|_{r=\pm L_r/2} = \hat{f}_{l,r}(q)$$~~

Brauchen nach der Diskretisierung DFT

$$q \longrightarrow k \quad \hat{\rho}(r, k) = \Phi \rho(r, q)$$

um Randbedingung für *inflow* (links)

und *inflow* (rechts) setzen zu können

$$\rho(r, k > 0)|_{r=-L_r/2} = \Phi \hat{f}_l(q)$$

$$\rho(r, k < 0)|_{r=+L_r/2} = \Phi \hat{f}_r(q)$$

$$\rho|_{q=\pm L_q/2} = ?$$

LvN im Phasenraum

$$\triangleq \text{Wigner-Transportgleichung (WTE)}$$

Wahrscheinlichkeitsverteilung im Phasenraum :

Wigner-Funktion $f(r, k)$

= Wigner-Transformierte des Dichteoperators

$$f(r, k > 0)|_{r=-L_r/2} = f_l(k)$$

$$f(r, k < 0)|_{r=+L_r/2} = f_r(k) \quad [1]$$

Keine weitere RB nötig, da k-Abhängigkeit in der WTE als Integral ausgedrückt

Selbstkonsistentes Potential

$$i\partial_t \rho(r, q, t) + \text{div}(A \nabla \rho(r, q, t)) - B(r, q, t) \rho(r, q, t) = 0$$

$$A = \begin{pmatrix} 0 & \frac{1}{2} \\ \frac{1}{2} & 0 \end{pmatrix}$$

$$B(x, y, t) \equiv \frac{V\left(x + \frac{y}{2}, t\right) - V^*\left(x - \frac{y}{2}, t\right)}{V_0}$$

- Elektron-Elektron-WW. zunächst unbekannt
- ~~Elektron-Phonon-WW.~~ verbleibt unberücksichtigt
- Heterostruktur-Potential ✓
- Extern angelegtes Feld ✓

Selbstkonsistentes Potential

Initial Guess

$u^{(0)}$

$$i\partial_t \rho(r, q, t) + \operatorname{div}(A \nabla \rho(r, q, t)) - B(r, q, t) \rho(r, q, t) = 0$$

Liouville-von-Neumann-Gleichung



$u(x)$

$n(x)$

Poisson-Gleichung

$$-\partial_x (\epsilon(x) \partial_x u(x)) = e^2 (n(x) - N_D(x))$$

Discontinuous Galerkin Verfahren

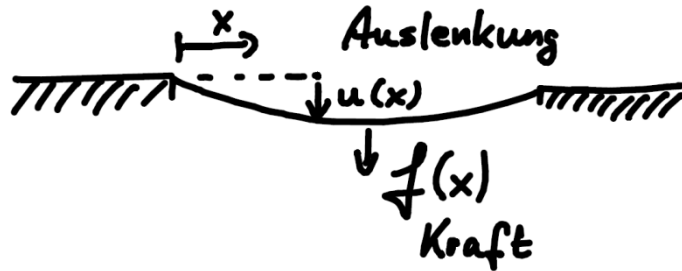
= erweitertes FEM Verfahren

Idee FEM:

1. Ritz-Galerkin-Ansatz: Formuliere das Problem als Variationsproblem zur Minimierung einer Kostenfunktion
2. Approximiere Lösung $u \in \mathbb{V}$ einer pDGL durch u_h auf endlichdimensionalem Funktionenraum \mathbb{V}_N

1. Ritz-Galerkin-Ansatz (Schwache Formulierung)

Bsp. Membran-Problem [2]



$$E : C^1(\bar{\Omega}) \rightarrow \mathbb{R}$$

$$E(u) = \frac{\sigma}{2} \int_{\Omega} |\nabla u|^2 - \int_{\Omega} f u$$

$$\frac{d}{d\epsilon} E(u + \epsilon v) = 0$$

→ Euler-Lagrange-Gleichung: $\int_{\Omega} \nabla u \cdot \nabla v = \int_{\Omega} f v \quad \forall v \in \mathbb{V}$

Identifiziere im Bsp. Bilinearform und Linearform

$$\mathcal{B}(u, v) = \int_{\Omega} \nabla u \cdot \nabla v \quad f(v) \equiv (f, v)_{L^2(\Omega)}$$

Schwache Formulierung: Finde $u \in \mathbb{V}$, sodass $\mathcal{B}(u, v) = f(v) \quad \forall v \in \mathbb{V}$

Sobolev-Raum

Starke Form

$$-\Delta u = f \quad \text{in } \Omega, \quad u = 0 \quad \text{auf } \partial\Omega$$

Schwache Form

$$u \in \mathbb{V} : \quad \int_{\Omega} \nabla u \cdot \nabla v = \int_{\Omega} f v \quad \forall v \in \mathbb{V}_0$$

Satz von Gauß

Links: mehr Regularität verlangt

————→ Schwache Lösungen sind in Sobolev-Räumen definiert [2]

$$H^s(\Omega) = \{v \in L^2(\Omega) : \forall 0 \leq |\alpha| \leq s, D^\alpha v \in L^2(\Omega)\}$$

„Schwache Ableitung“

$$2. \text{ Sobolev'scher Einbettungssatz} \quad s - \frac{d}{2} \geq l \quad \Rightarrow \quad H^s(\Omega) \hookrightarrow C^l(\bar{\Omega})$$

2. Ritz-Approximation

Achtung: \mathbb{V} ist unendlich dimensionaler Hilbertraum!

Wähle nun endlichdim. Teilraum $\mathbb{V}_N \subset \mathbb{V}$

Finde $U_N \in \mathbb{V}_N$, sodass $\mathcal{B}(U_N, V_N) = f(V_N) \quad \forall V_N \in \mathbb{V}_N$

Galerkin-Orthogonalität:

$$\mathbb{V}_N \subset \mathbb{V} \Rightarrow \mathcal{B}(u - U_N, V_N) = 0$$

Die wichtigsten Sätze

Nenne \mathcal{B} koerziv, iff $\mathcal{B}(v, v) \geq \alpha \|v\|_{\mathbb{V}}^2 \quad \forall v \in \mathbb{V}$

Nenne \mathcal{B} stetig, iff $\mathcal{B}(u, v) \leq \|\mathcal{B}\| \|u\|_{\mathbb{V}} \|v\|_{\mathbb{V}} \quad \forall u, v \in \mathbb{V}$

Lemma von Lax-Milgram

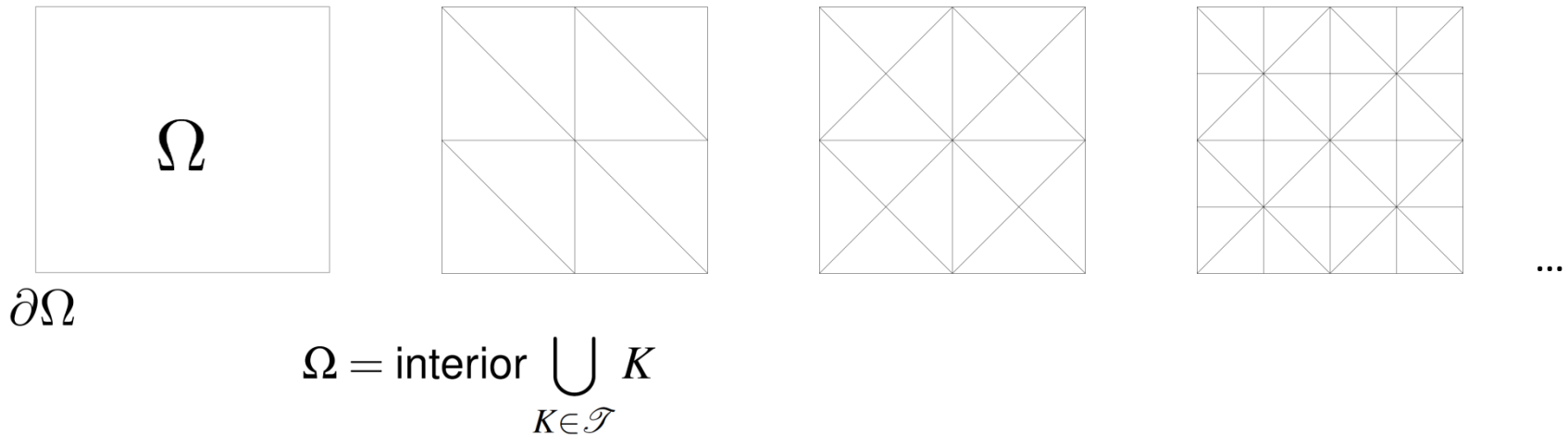
$\mathcal{B}(u, v) = f(v) \quad \forall v \in \mathbb{V}$ hat mit $f \in \mathbb{V}^*$ eindeutige Lösung $u \in \mathbb{V}$.

Cea's Lemma

$$\begin{aligned} \alpha \|U_N - u\|_{\mathbb{V}}^2 &\leq \mathcal{B}(U_N - u, U_N - u) = \mathcal{B}(U_N - u, V - u) \\ &\leq \|\mathcal{B}\| \|U_N - u\|_{\mathbb{V}} \|V - u\|_{\mathbb{V}} \quad \forall V \in \mathbb{V}_N \end{aligned}$$

$$\Rightarrow \|U_N - u\|_{\mathbb{V}} \leq \frac{\|\mathcal{B}\|}{\alpha} \inf_{V \in \mathbb{V}_N} \|V - u\|_{\mathbb{V}}$$

Triangulation, Finite-Elemente-Raum

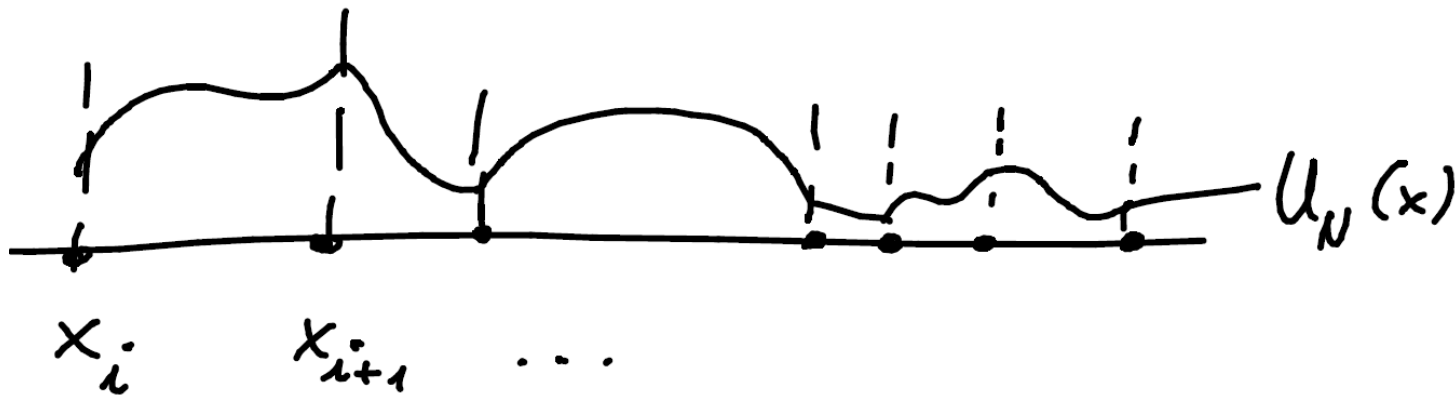


$$\mathbb{V}_N = \text{FES}(\mathcal{T}, \mathbb{P}_N, \mathbb{V}) \equiv \{V \in \mathbb{V} \mid V|_K \in \mathbb{P}_N(K) \ \forall K \in \mathcal{T}\}$$

Lemma [2]

$$\{V \in C(\bar{\Omega}) \mid V|_K \in \mathbb{P}_N(K) \ \forall K \in \mathcal{T}\} = \text{FES}(\mathcal{T}, \mathbb{P}_N, H^1(\Omega))$$

Bsp. 1D



$$\{V \in C(\bar{\Omega}) \mid V|_K \in \mathbb{P}_N(K) \quad \forall K \in \mathcal{T}\} = \text{FES}(\mathcal{T}, \mathbb{P}_N, H^1(\Omega))$$

Stetige Testfunktion!

Discontinuous Galerkin Verfahren

= erweitertes FEM Verfahren

Idee DG:

1. $\mathbb{V}_N = \text{FES}(\mathcal{T}, \mathbb{P}_N, \mathbb{V}) \not\subset \mathbb{V}$ (Nicht-Konformität)

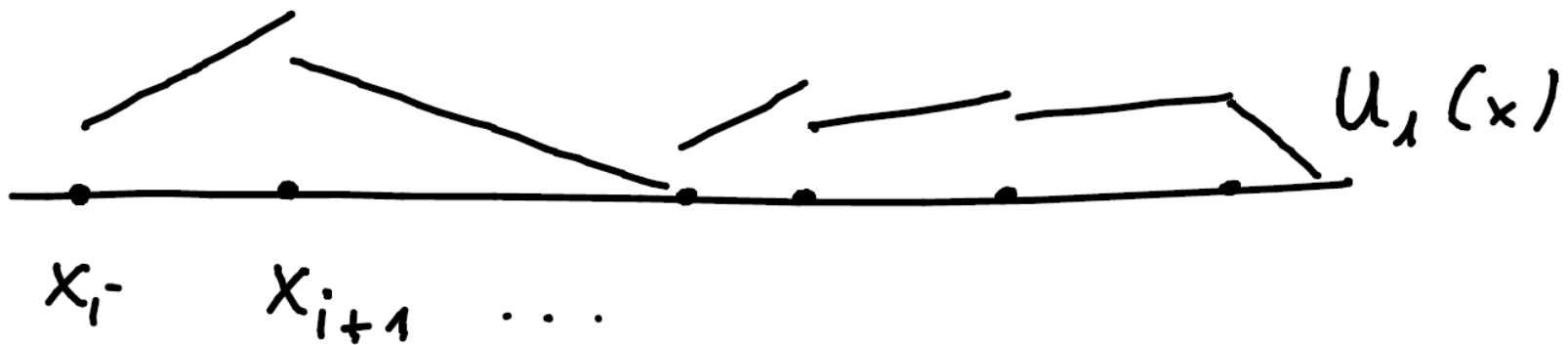
Testfunktionen und schwache Lösung sind komplett unstetig.

Lösung verletzt ggf. sogar Dirichlet-RB.

—————→ Mehr Flexibilität für Diskretisierung

2. Lösbarkeit wird erreicht durch geschickte Stabilisierungsterme, die zudem so gewählt werden, dass keine Konsistenzfehler auftreten. [3]
3. DG als Kombination von FEM und FV

Sichtweise A: Der mysteriöse „numerische Fluss“



$U_N(x_i)$ ist nicht eindeutig definiert.

————→ Neue Freiheitsgrade: Lösungsvektor im 1d Fall mit $N=1$
doppelt so groß

Sichtweise A: Der mysteriöse „numerische Fluss“

Wie erhalten wir aber eine eindeutige Lösung an den betroffenen Knoten?

Antwort:

Per Definition aus dem „numerischen Fluss“

Ein Beispiel: skalare Advektionsgleichung (1D)

[4]

$$\frac{\partial u(x, t)}{\partial t} + \frac{\partial (au(x, t))}{\partial x} = 0, \quad x \in [0, \ell] = \Omega$$

$$u(x, 0) = u_0(x)$$

$$u(0, t) = g(t) \quad \text{mit } a \geq 0$$

Information fließt von links nach rechts

Beispiel (Fortsetzung)

Partitionierung:

$$(\text{PDE 1}): \quad v_t + v_x = 0 \quad \text{auf } D_1 = [0, \ell/2]$$

$$(\text{PDE 2}): \quad w_t + w_x = 0 \quad \text{auf } D_2 = [\ell/2, \ell]$$

Kopplung:

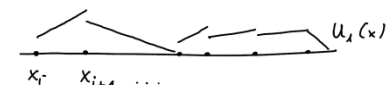
Eine zusätzliche (neue) Randbedingung erzwingt Kontinuität der exakten

Lösung: $w(1/2, t) = v(1/2, t)$

Multiplikation mit H^1 Testfunktion, Integration und partielle Integration

$$\int_{D_1} \psi v_t - \int_{D_1} \psi_x \underbrace{v}_{\text{Fluss}} + \int_{\partial D_1} \underbrace{\psi v \hat{n}}_{?} = 0$$

Fluss



Beispiel (Fortsetzung)

Für die Diskretisierung definiere nun konsistenten numerischen Fluss!

$$\int_{D_1} \psi v_t - \int_{D_1} \psi_x v + \int_{\partial D_1} \psi v \hat{n} = 0$$

$$\longrightarrow \int_{D_1} \psi_N v_{N,t} - \int_{D_1} \psi_{N,x} v_N + \int_{\partial D_1} \psi_N v_N^* \hat{n} = 0$$

Wähle dem Problem angepassten *upwind flux*

$$v_N^* = v_N^* (v_N^-, v_N^+) = \begin{cases} g(t), & x = 0 \\ \{\{v_N\}\} + \frac{1}{2} \llbracket v_N \rrbracket = v_N^-(\ell/2, t), & x = \ell/2 \\ v_N^+(\ell, t), & x = \ell \end{cases}$$

Sichtweise A: Der mysteriöse „numerische Fluss“

Muss folgende Eigenschaften erfüllen

- Konsistenz

Schwache Lösung $u \in H^1(\Omega)$ löst auch
gewählte Variationsformulierung

$$\Leftrightarrow f^*(u, u) = f(u)$$

- Stabilität

$$\sum_{K=1}^{\#\mathcal{T}} \frac{d}{dt} \|u_N\|_{2;K}^2 \leq 0$$

Konvergenz

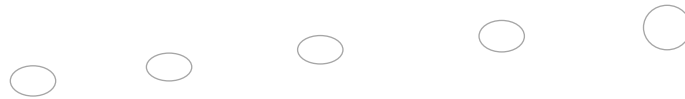
[4]

Bonbon:

Kann darüber hinaus weitere physikalische Erhaltungsgrößen garantieren

Sichtweise B: Freiheit in der Wahl der Bilinearform

$$\mathcal{B}_N : \mathbb{V}_N + \mathbb{V} \times \mathbb{V}_N \rightarrow \mathbb{R}$$



$$\|U_N - u\|_{\mathbb{V}} \leq \frac{\|\mathcal{B}\|}{\alpha} \inf_{V \in \mathbb{V}_N} \|V - u\|_{\mathbb{V}}$$

Cea's Lemma wird zum 2. Strang Lemma: [\[2\]](#),[\[3\]](#)

$$\|U_N - u\|_N \lesssim \left(1 + \frac{\|\mathcal{B}_N\|}{\alpha_N}\right) \inf_{V \in \mathbb{V}_N} \|V - u\|_N + \underbrace{\frac{1}{\alpha_N} \sup_{V \in \mathbb{V}_N} \frac{|\mathcal{B}_N(u, V) - F_N(V)|}{\|V\|_N}}_{\text{Konsistenzfehler}}$$

Diskrete Bilinearform können wir aus der pDGL zusammenbasteln mit folgenden Wunscheigenschaften:

Sichtweise B: Wünsche an die Bilineaerform [3]

- *Stetigkeit*
- *Koerzivität*
- *Symmetrie*
- *Konsistenz*

$$\|U_N - u\|_N \lesssim \left(1 + \frac{\|\mathcal{B}_N\|}{\alpha_N}\right) \inf_{V \in \mathbb{V}_N} \|V - u\|_N + \frac{1}{\alpha_N} \sup_{V \in \mathbb{V}_N} \frac{|\mathcal{B}_N(u, V) - F_N(V)|}{\|V\|_N}$$

Stellschrauben im DG-Verfahren

- Wahl des numerischen Flusses
 - Hieraus resultieren weitere Parameter, z.B. der nominelle Wert für einen „Strafterm“
- Wahl des Raumes der Testfunktionen – wir wählen Galerkin-Ansatz:
Lösungsraum = Testfunktionenraum
- Triangulierung
- Wahl einer Basis des Finite-Elemente-Raumes – wir benutzen Jacobi-Polynome

Schema als gemischtes DG-Verfahren

$$i\partial_t u(x, y, t) + \operatorname{div} \left(\underbrace{A \nabla u(x, y, t)}_{\equiv \mathbf{q}} \right) - \underbrace{B(x, y, t) u(x, y, t)}_{\equiv g(u)} = 0$$

Überführe pDGL in System erster Ordnung

$$\left\{ \begin{array}{l} i\partial_t u + \operatorname{div}(\mathbf{q}) - g(u) = 0 \\ \frac{1}{2}\partial_y u = q_x \\ \frac{1}{2}\partial_x u = q_y \end{array} \right.$$

Entwicklung in Polynombasis [4]

$$\mathbb{V}_N = \bigoplus_{K \in \mathcal{T}} \{\Psi_n(K)\}_{n=1}^{N_p}$$

$$\mathbf{x} \in K : u_N^K(\mathbf{x}) = \sum_{m=1}^{N_p} \hat{u}_N^K(t) \Psi_m(\mathbf{x}) = \sum_{n=1}^{N_p} u_N^K(\xi_n^K, t) \ell_n^K(\mathbf{x})$$

Modale Entwicklung
(Jacobi-Polynome)

Nodale Entwicklung
(Lagrange-Interpolation)

Kurzschreibweise

$$\underline{u}_N^K \equiv \left(u_N^K(\xi_1^K, t), \dots, u_N^K(\xi_{N_p}^K, t) \right)^T$$

Starke Formulierung

$$\begin{cases} i \partial_t u + \operatorname{div}(\mathbf{q}) - g(u) = 0 \\ \frac{1}{2} \partial_y u = q_x \\ \frac{1}{2} \partial_x u = q_y \end{cases}$$

$$\begin{aligned}
 & + \int_K \sum_{j=1}^{N_p} \mathbf{q}_N^K(\xi_j^K, t) \ell_j^K(\mathbf{x}) \ell_i^K(\mathbf{x}) \cdot \nabla \ell_i^K(\mathbf{x}) \\
 & + \int_{\partial K} \sum_{j=1}^{N_p} \mathbf{q}^{*,K}(\xi_j^K, t) \ell_j^K(\mathbf{x}) \ell_i^K(\mathbf{x}) \cdot \hat{\mathbf{n}} - \int_K \sum_{j=1}^{N_p} g_N^K(\xi_j^K, t) \ell_j^K(\mathbf{x}) \ell_i^K(\mathbf{x}) = 0 \\
 & \int_K \sum_{j=1}^{N_p} u_N^K(\xi_j^K) \partial_{y/x} \ell_j^K(\mathbf{x}) \ell_i^K(\mathbf{x}) + \int_{\partial K} \hat{n}_{y/x} \sum_{j=1}^{N_p} \left(u^{*,K}(\xi_j^K) - u_N^K(\xi_j^K) \right) \ell_j(\mathbf{x}) \\
 & = 2 \int_K \sum_{j=1}^{N_p} \left(\mathbf{q}_N^K \right)_{x/y}(\xi_j^K, t) \ell_i^K(\mathbf{x}) \ell_j^K(\mathbf{x})
 \end{aligned}$$

$$\forall i = 1, \dots, N_p$$

Definition Massen- und Steifigkeitsmatrix [4]

$$\left(M^K\right)_{i,j} \equiv \int_K \ell_i^K(\mathbf{x}) \ell_j^K(\mathbf{x}) = J^K \int_{\hat{K}} \ell_i(\mathbf{x}) \ell_j(\mathbf{x}) \equiv J^K M$$

$$\left(S_{x/y}^K\right)_{i,j} \equiv \int_K \partial_{x/y} \ell_j^K(\mathbf{x}) \ell_i^K(\mathbf{x}) = \left(M^K D_x\right)_{i,j}$$

Ein mögliches Schema

$$iM^K \cancel{\partial_t \underline{u}_N^K} - \left(S_x^K\right)^T \left(\underline{\mathbf{q}}_N^K\right)_x - \left(S_y^K\right)^T \left(\underline{\mathbf{q}}_N^K\right)_y + \int_{\partial K} \hat{\mathbf{n}} \cdot \underline{\mathbf{q}}^{*,K} \underline{\ell}^K(\mathbf{x}) \ell_i^K(\mathbf{x}) - M^K \underline{g}_N^K = 0$$

$$S_y^K \underline{u}_N^K + \int_{\partial K} \hat{n}_y \left(\underline{u}^{*,K} - \underline{u}_N^K\right) \underline{\ell}(\mathbf{x}) = 2M^K \left(\underline{\mathbf{q}}_N^K\right)_x$$

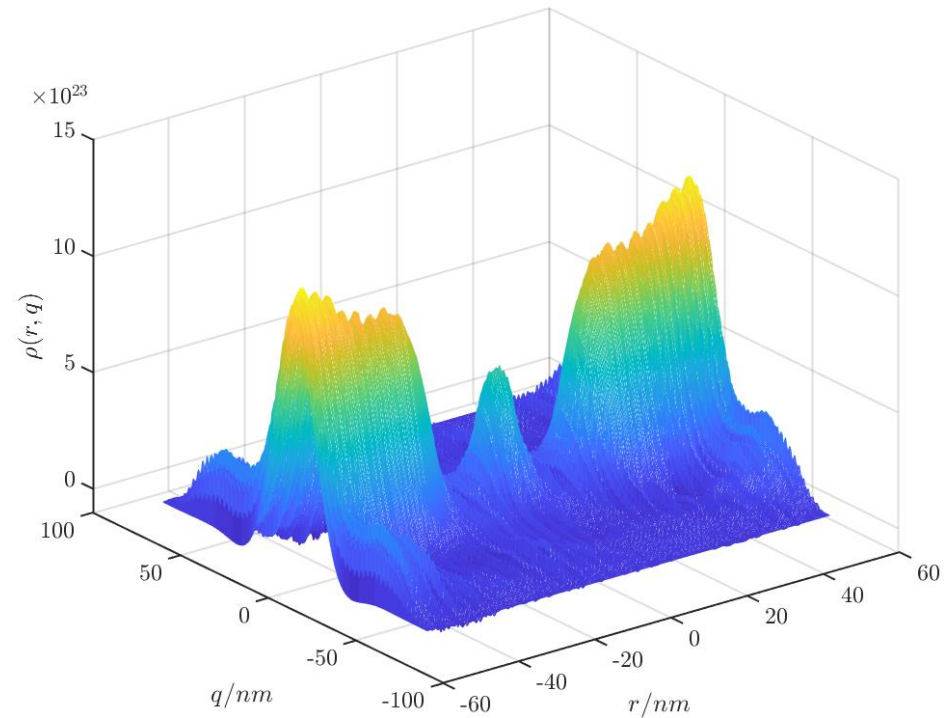
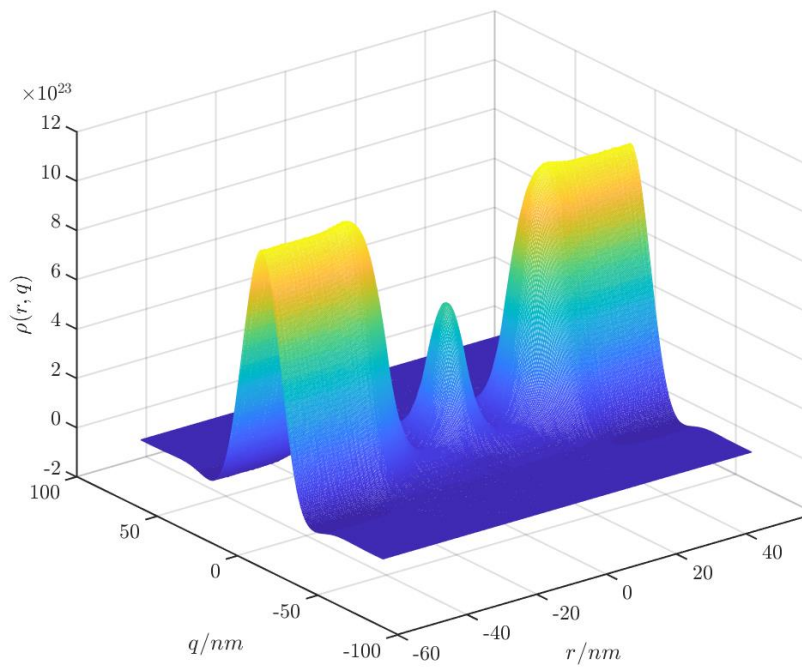
$$S_x^K \underline{u}_N^K + \int_{\partial K} \hat{n}_x \left(\underline{u}^{*,K} - \underline{u}_N^K\right) \underline{\ell}(\mathbf{x}) = 2M^K \left(\underline{\mathbf{q}}_N^K\right)_y$$

Fluss

$$\underline{\mathbf{q}}^{*,K} = \{\{\underline{\nabla} u_N^K\}\} - \tau \llbracket u_N^K \rrbracket$$

$$\underline{u}^{*,K} = \{\{\underline{u}_N^K\}\}$$

Gleichgewichtslösung



Aktuelle Fragestellungen

- Diskrete Fouriertransformation bzgl. q Variable, um Randbedingung für Nicht-Gleichgewicht setzen zu können
 - Anpassung des numerischen Flusses, um Inflow Charakter gerecht zu werden
 - Implementierung der selbstkonsistenten Lösung
- Zeitableitung berücksichtigen
- Ist eine direkte DG-Methode zu bevorzugen?
- Formulierung und Verifizierung der a-priori Fehlerabschätzung
- Alternative Randbedingungen?

Quellen

- [1] William R Frensley. *Wigner-function model of a resonant-tunneling semiconductor device*. In: *Physical Review B* 36.3 (1987), S. 1570.
- [2] Kreuzer, C. Vorlesungsskript *Finite Elemente Methoden*. TU Dortmund, 2019.
- [3] Verfürth, R. Vorlesungsskript *Numerik II, Finite Elemente*. Ruhr-Universität Bochum, 2016.
- [4] Hesthaven, J. S., & Warburton, T. *Nodal discontinuous Galerkin methods: algorithms, analysis, and applications*. Springer Science & Business Media, 2007.